

اتوماتای یادگیر سلولی

محمد رضا میدبی
حمدی بیگی مسعود طاهرخانی

مرکز تحقیقات انفورماتیک، آزمایشگاه پردازش موازی

دانشکده مهندسی کامپیوتر

دانشگاه صنعتی امیرکبیر

تهران ایران

meybodi@ce.aku.ac.ir

beigy@ce.aku.ac.ir

چکیده

در این مقاله مدل جدیدی تحت عنوان اتماتای یادگیر سلولی معرفی شده و رفتار آن از طریق شبیه سازی کامپیوترا مورد مطالعه و ارزیابی قرار می‌گیرد. بر اساس این مدل، مجموعه ای از اتماتون های یادگیر در شبکه ای نظیر آنچه در اتماتای سلولی وجود دارد، قرار گرفته است و نسبت به رفتار همسایه های خود عکس العمل نشان می‌دهند. هر اتماتان در این مدل، بر اساس یک الگوریتم یادگیری عمل نموده و در طی زمان یاد می‌گیرد که چگونه بهترین عمل را در مقابل باخت محیط پیرامون خود انجام دهد. این مدل بیشنهادی دارای کاربردهای متعددی از جمله مدل کردن سیستم های اجتماعی، سیستمهاي بیولوژیکی، و پردازش تصاویر می باشد که در گزارش های آینده ارایه خواهد گردید.

کلمات کلیدی: اتماتای سلولی، اتماتای یادگیر، اتماتای یادگیر سلولی

نماید. در حالت خاص، مدل جدید رفتار اتماتای سلولی را از خود نشان می‌دهد و بهمین دلیل در برگیرنده CA مباشد [5]. در ادامه، ابتدا به شرح اتماتای سلولی و اتماتای یادگیر می‌پردازیم. سپس مدل جدید اتماتای یادگیر سلولی را معرفی می‌کنیم. در پایان، برخی از قوانین استفاده شده را بررسی نموده و تتابع بدست آمده از انجام آزمایشات با این قوانین و اتماتون های مختلف را ارائه می‌نماییم.

۲- اتماتای سلولی

اتوماتای سلولی مدلی ریاضی برای سیستم هایی است که در آنها چندین مولفه ساده برای تولید الگوهای پیچیده با هم همکاری می‌کنند. اتماتای سلولی از یک شبکه منظم سلولها تشکیل شده است که هر سلول می‌تواند $(k > 1)$ مقدار مختلف به خود بگیرد. سلولهای اتماتای سلولی در زمانهای گستره بطور همزمان و بر طبق یک قانون محلی بنام Φ بهنگام میشنوند که در آن مقدار هر سلول بر اساس مقادیر سلولهای همسایه تعیین می‌گردد. اتماتای سلولی براساس معیارهای مورد بررسی به دسته های مختلف تقسیم می‌گردد. بعنوان نمونه بر اساس معیار بعد شبکه، اتماتای سلولی به اتماتای سلولی یک بعدی، دو بعدی و غیره تقسیم می‌گردد و براساس مقدار k به اتماتای سلولی دودوئی ($k=2$) و اتماتای سلولی چند مقداره ($k>2$) تقسیم می‌شوند. همچنین اتماتای سلولی را براساس شکل همسایه ها

۱- مقدمه

اتوماتای سلولی در اوخر دهه ۱۹۴۰ توسط John von Neumann امتحان شد و سپس توسط ریاضیدانی بنام Stanislaw Ulam به عنوان مدلی برای بررسی رفتار سیستم های پیچیده پیشنهاد شد [1][2]. اتماتای سلولی سیستم های دینامیکی هستند که ظرفیت اطلاعاتی پائینی داشته و بهمین دلیل برای برخی کاربردها مطلوب نمی‌باشند. ظرفیت اطلاعاتی آنها را می‌توان بکمک یادگیری افزایش داد [3][4]. اتماتای یادگیر ^۱ اولین بار توسط M. L. Tsetlin در اوایل دهه ۱۹۶۰ در کشور شوروی سابق مطرح شد. اتماتون های یادگیر در محیطی تصادفی عمل نموده و قادر هستند که بر اساس ورودیهای دریافت شده از محیط، احتمال انجام عملیات خود را بروز در آورده تا بتوانند از این طریق کارآیی خود را بهبود بخشنند.

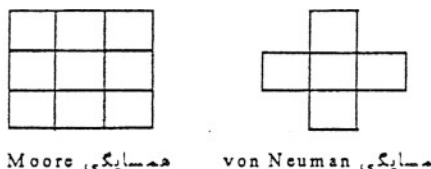
در این مقاله، با توجه به ویژگیهای دو مدل فوک، مدل جدیدی بنام اتماتای یادگیر سلولی ^۲ (CLA) پیشنهاد می‌گردد. در این مدل، هر سلول در اتماتای سلولی مجهز به یک اتماتان یادگیر می‌باشد که وضعیت این سلول را مشخص می‌کند. هر اتماتان یادگیر، بر اساس یک الگوریتم یادگیری عمل نموده و در طی زمان یاد می‌گیرد که چگونه از طریق تعامل (فعل و انتقال) با محیط بهترین عمل را انتخاب

¹ Learning Automata (LA)

² Cellular Learning Automata (CLA)

نظر گرفته می شود. در این شیوه از نمایش، قانون را بصورت $N \times M$ نمایش میدهد که $\{M_1, M_2, \dots, M_N\}$ و $M = \{N_1, N_2, \dots, N_M\}$ میباشد. در این شیوه از نمایش، قانون بصورت زیر تقریب میگردد. اگر مقادیر سلول مرکزی یک باشد و تعداد همسایه هایی که مقادار آنها یک است متعلق به مجموعه N باشد مقادیر سلول مرکزی برابر صفر خواهد شد و اگر مقادیر سلول مرکزی صفر باشد و تعداد همسایه هایی که مقادار آنها یک است متعلق به مجموعه M باشد مقادیر سلول مرکزی برابر یک خواهد شد. بنویسند. یعنی شیوه از نمایش، قانون بصورت زیر بیان می شود. اگر مقادیر سلول مرکزی یک باشد و تعداد همسایه هایی که مقادار آنها یک است بزرگتر با مساوی ۵ باشد مقادیر سلول مرکزی برابر صفر خواهد شد و اگر مقادیر سلول مرکزی صفر باشد و تعداد همسایه هایی که مقادار آنها یک است کوچکتر از ۵ باشد مقادیر سلول مرکزی برابر یک خواهد شد.

مطلوب مطرح فوق را میتوان به اтомاتاتی سلولی با ابعاد بیشتر نیز تعیین داد. بنویسند مثال برای یک اتماتاتی سلولی دو بعدی میتوان چندین ساختار برای شبکه و همسایه ها در نظر گرفت که در این مقاله تنها شبکه های مرتبی و دو ساختار زیر برای همسایه ها در نظر گرفته شده است.



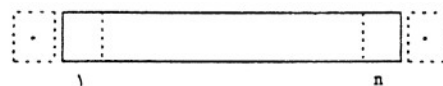
شکل ۲: انواع همسایگی های مهم در اتماتاتی سلولی

قوانين اتماتاتی سلولی دودوئی را بر اساس رفتارشان در طی یک دوره طولانی به چهار کلاس مجزا میتوان تقسیم کرد [۶-۹]. کلاس I کلاس I رفتار *limit point* یا سیار کسل کننده دارند و نهایتاً مثل بسوی یک وضعیت همگون با شروع از هر حالت اولیه می روند. بطور مثال مقادیر همه سلولها صفر و یا مقادیر همه سلولها همه یک میشوند. این کلاس شامل قوانین ۴۰، ۳۶، ۳۲، ۱۶، ۴۸، ۵۴، ۶۰ و ۶۲ میباشد.

کلاس II کلاس II رفتار *limit cycle* یا کسل گننده دارند و نهایتاً مثل یک فیلتر، ساختارهای ساده، جدا و پربویدیک می سازند. ساختارهای ساده ایجاد شده یا باید هستند یا پربویدیک که در اینصورت، معمولاً دوره پربوید کوتاهی دارند. گاهی اوقات نیز الگوهای بوجود می آورند که به سمت راست یا چپ شیفت داده می شوند. این کلاس شامل قوانین ۴۰، ۳۶، ۵۶ و ۵۸ می باشد.

کلاس III کلاس III به حالتی غیرپربویدیک و غیرقابل پیش بینی از نظر فضای زمان منجر می گردد و رفتار جالبی دارند. اکثر قوانین در این کلاس بوده که شامل قوانین ۲، ۶، ۱۰، ۱۲، ۱۴، ۲۲، ۲۶، ۳۸، ۴۲، ۴۴، ۴۶، ۴۸، ۵۰ هستند.

میتوان به دو دسته اتماتاتی سلولی با مرز پربویدیک و اتماتاتی سلولی با مرز غیرپربویدیک تقسیم نمود. بنویسند مثال در اتماتاتی سلولی یک بعدی با n سلول که در شکل زیر نشان داده شده است در صورتیکه سلولهای شماره ۱ و n را باهم همسایه در نظر گیریم اتماتاتی سلولی را با مرز پربویدیک و در صورتیکه برای سلولهای ۱ و n دو سلول مجازی با مقادیر صفر بنویسند همسایه در نظر گیریم آنرا اتماتاتی سلولی با مرز غیرپربویدیک مینامند.



شکل ۱: اتماتاتی سلولی یک بعدی در اتماتاتی سلولی یک بعدی مقادیر سلول ۱ (برای $n \geq 1$) در زمان t که با نشان (a) داده میشود بصورت زیر محاسبه میگردد.

$$a_i(t+1) = \Phi[a_{i-1}(t), a_i(t), a_{i+1}(t)]$$

در رابطه فوق، اگر قانون Φ فقط به مقادیر همسایه ها بستگی داشته باشد آنرا قانون general مینامند و اگر قانون Φ تابعی از مجموع مقادیر سلولهای همسایه ها و سلول مرکزی باشد آنرا قانون totalistic میگویند و بصورت زیربنیان میشود.

$$a_i(t+1) = \Phi[a_{i-1}(t) + a_i(t) + a_{i+1}(t)]$$

در صورتیکه قانون Φ تابعی از مجموع مقادیر سلولهای همسایه و مقادیر سلول مرکزی باشد آنرا قانون Outer totalistic میگویند و بصورت زیر نشان داده میشود.

$$a_i(t+1) = \Phi[a_i(t), a_{i-1}(t) + a_{i+1}(t)]$$

همجنبن قانون Φ میتوان بصورت قطعی یا احتمالی باشد. در صورتیکه Φ یک تابع تصادفی باشد آنرا قانون احتمالی و در غیر اینصورت آنرا قانون قطعی میگویند.

قانون Φ را میتوان به شکلهای مختلفی نشان داد. یک شیوه معمول برای نمایش قانونهای general، استفاده از یک شماره برای قانون است. در این شیوه، شماره قانون برابر است با معادل دهدی مقادیر سلول مرکزی به ازای تمام ترکیبات مختلف سلولهای همسایه. بنویسند مثال در اتماتاتی سلولی یک بعدی شماره قانون ۹۰ بصورت زیر میباشد

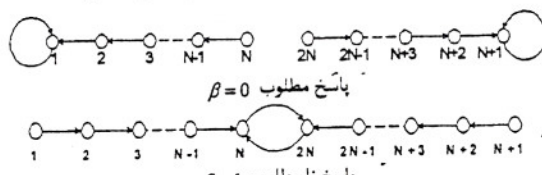
$(a_{i-1}(t), a_i(t), a_{i+1}(t))$	$(1, 1, 1)$	$(1, 1, 0)$	$(1, 0, 1)$	$(1, 0, 0)$	$(0, 1, 1)$	$(0, 1, 0)$	$(0, 0, 1)$	$(0, 0, 0)$
$a_i(t+1)$.	1	0	1	1	0	1	0

که عدد ۹۰ معادل دهدی عدد $(0, 1, 1, 0, 1, 1, 0, 1, 1)$ میباشد. روش دیگری که برای نمایش این دسته از قوانین بکار میبرد عبارت منطقی به شکل مجموع حاصلضرب استاندارد است.

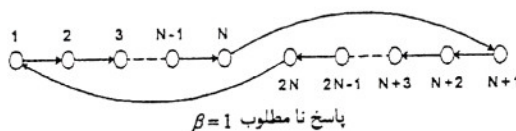
برای نمایش قوانین totalistic از شیوه دیگری استفاده میگردد که در آنها سلولها برای تعیین مقادیر یک سلول رای گیری میکنند. در این دسته از قوانین، سلول مرکزی عضوی از مجموعه همسایگان خود در

۳-۳-۱-آutomاتای یادگیر با ساختار ثابت^۱: آutomاتای یادگیر با ساختار ثابت توسط ۵ تابی $\alpha, \beta, F, G, \phi$ نشان داده شود که در آن $\alpha = \{\alpha_1, \alpha_2, \dots, \alpha_r\}$ مجموعه عمل ها^{۱۱} ای آutomات، $\beta = \{\beta_1, \beta_2, \dots, \beta_m\}$ مجموعه وضعیت های داخلی آtomاتا، $\phi: F \times \beta \rightarrow \mathbb{R}$:تابع تولید وضعیت جدید آtomاتا و $\alpha \rightarrow \phi: G$:تابع خروجی که وضعیت کنونی را به خروجی بعدی می نگارد. آtomاتا های با ساختار ثابت که در این مقاله به آنها اشاره شده است در ادامه آمده است.

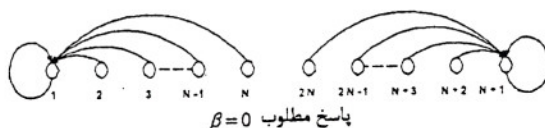
۳-۳-۲-آtomاتای $L_{2N,2}$: این آtomاتا تعداد پاداش ها و جریمه های دریافت شده برای هر عمل را نگهداری کرده و تنها زمانی که تعداد جریمه ها بیشتر از پاداش ها می گردد، عمل دیگر را انتخاب می کند. نمودار تغییر وضعیت این آtomاتا مطابق شکل ۴ می باشد.

شکل ۴: نمودار تغییر وضعیت آtomاتا $L_{2N,2}$

۳-۳-۳-۱-آtomاتای $G_{2N,2}$: در این آtomاتا برخلاف $L_{2N,2}$ ، عمل α حداقل N بار انجام می گردد (یعنی از گرفتن N جریمه) تا اینکه نهایتاً عمل α دوباره انتخاب شود. گراف تغییر وضعیت این آtomاتا برای پاسخ مطلوب مانند آtomاتا $L_{2N,2}$ بوده و برای پاسخ نامطلوب مطابق شکل ۵ می باشد.

شکل ۵: نمودار تغییر وضعیت آtomاتای $G_{2N,2}$

۳-۳-۳-۲-آtomاتای Krinsky: این آtomاتا زمانی که پاسخ محیط نامطلوب است، مانند $L_{2N,2}$ رفتار می کند. اما برای پاسخ مطلوب هر وضعیت (α_i, β_i) به وضعیت $(\alpha_{i+1}, \beta_{i+1})$ می رود. بنابراین همینه N پاسخ نامطلوب متواتی لازم است تا آtomاتا عمل خود را عوض کند. نمودار تغییر وضعیت این آtomاتا برای پاسخ نامطلوب مانند آtomاتا $L_{2N,2}$ بوده و برای پاسخ مطلوب مطابق شکل ۶ میباشد.



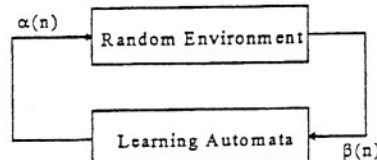
شکل ۶: نمودار تغییر وضعیت آtomاتای Krinsky

گلاس IV: در نهایت، مهمترین گلاس مربوط به آن قوانینی است که متعلق به هیچ یک از سه گلاس فوق نبوده و رفتار پیچیده ای از خود نشان میدهدند. قوانین این گلاس رفتار سیار جالب دارند و ساختارهای منتشر شونده و گاهی با عمر طولانی ایجاد می کنند. ادعا شده است که اینگونه قوانین دارای ویژگی جهان محاسباتی می باشند. این گلاس شامل قوانین ۲۰، ۵۲ می باشد.

آtomاتای سلوالی دارای کاربردهای فراوانی است. برخی از این کاربردها عبارتند از: تولید کننده اعداد تصادفی [10]، رمزگاری [11-13]، انتشار شایعه [14]، پردازش تصویر [15]، مطالعه زبانهای رسمی [8]، و مرتب سازی اعداد [17].

۳-آtomاتای یادگیر

۱-۱-آtomاتای یادگیر^۵: آtomاتای یادگیر یک مدل انتزاعی است که تعداد محدودی عمل را می تواند انجام دهد. هر عمل انتخاب شده توسط محبطی احتمالی ارزیابی می گردد و پاسخی به آtomاتای یادگیر داده می شود. آtomاتای یادگیر از این پاسخ استفاده نموده و عمل خود برای مرحله بعد انتخاب می کند [19,18]. شکل ۳ ارتباط بین آtomاتاون یادگیر و محیط را نشان می دهد.



شکل ۳: ارتباط بین آtomاتا یادگیر و محیط

۳-۲-محیط^۶: محیط را می توان توسط سه تابی $E = \{\alpha, \beta, c\}$ نشان داد که در آن $\alpha = \{\alpha_1, \alpha_2, \dots, \alpha_r\}$ مجموعه وضعیت های ایجاد شده، $\beta = \{\beta_1, \beta_2, \dots, \beta_m\}$ مجموعه خروجیها و $c = \{c_1, c_2, \dots, c_s\}$ مجموعه احتمالهای جریمه میباشد. هرگاه β مجموعه دو عضوی باشد، محیط از نوع P می باشد. در جین محیطی $\beta_1 = \beta_2 = 0$ به عنوان جریمه و $\beta_2 = 0$ به عنوان پاداش در نظر گرفته میشود. در محیط از نوع Q ، $\beta(n)$ می تواند بطور گسته یکی از مقادیر محدود در فاصله $[0,1]$ را اختیار کند و در محیط از نوع S ، $\beta(n)$ متفاوت تصادفی در فاصله $[0,1]$ است.

α احتمال اینکه عمل α نتیجه نامطلوب داشته باشد می باشد. در محیط ایستا^۷ مقادیر α بدون تغییر باقی می مانند. حال آنکه در محیط غیر ایستا^۸ این مقادیر در طی زمان تغییر می کنند اtomاتاهای یادگیر به دو گروه تقسیم می گردند:

Learning Automaton ^۵
Environment ^۶
Unfavorable ^۷
Stationary ^۸
Non-Stationary ^۹

Fixed Structure^{۱۰}Actions^{۱۱}

اتوماتها، اگر عمل α_i در مرحله n انتخاب شود و پاسخ مطلوب از محیط دریافت نماید، احتمال $(n)_p$ افزایش و سایر احتمالها کاهش می‌یابند. برای پاسخ نامطلوب $(n)_p$ کاهش و سایر احتمالها افزایش می‌یابند. در هر حال، تغییرات بگونه‌ای صورت می‌یابد که حاصل جمع $(n)_p$ ها همواره ثابت و مساوی یک باقی بماند. الگوریتم زیر یک نمونه از الگوریتم‌های یادگیری خطی می‌باشد [18].

الف- پاسخ مطلوب

$$p_i(n+1) = p_i(n) + a[1 - p_i(n)]$$

$$p_j(n+1) = (1 - a)p_j(n) \quad \forall j \neq i$$

ب- پاسخ نامطلوب

$$p_i(n+1) = (1 - b)p_i(n)$$

$$p_j(n+1) = \frac{b}{r-1} + (1-b)p_j(n) \quad \forall j \neq i$$

در روابط فوق، a بارامتر پاداش و b بارامتر جریمه می‌باشد. با توجه به مقادیر a و b سه حالت زیر را می‌توان در نظر گرفت:

الف- زمانیکه a و b با هم برابر باشند، الگوریتم را L_R مینامیم.

ب- زمانیکه a از b خیلی کوچکتر باشد، الگوریتم را L_{R-L} مینامیم.

پ- زمانیکه a مساوی صفر باشد، الگوریتم را L_R مینامیم.

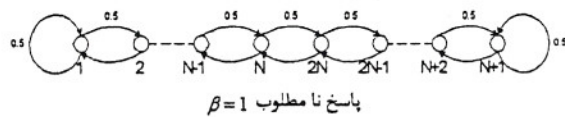
برای مطالعه بیشتر درباره اтомاتاهای یادگیری توأم به مراجع [23-19] مراجعه نمود.

۳- اتماتای یادگیر سلولی

اتوماتای یادگیر سلولی مدلی برای سیستم هایی است که از اجزاء ساده ای تشکیل شده اند و رفتار هر جزء بر اساس رفتار همسایگانش و نیز تجربیات گذشته اش تعبیین و اصلاح می‌شود. اجزاء ساده تشکیل دهنده این مدل، از طریق تعامل (فعل و انفعال) با یکدیگر می‌توانند رفتار بیجیده ای را از خود نشان دهند. هر اتماتای یادگیر سلولی، از یک اتماتای سلولی تشکیل شده است که هر سلول در آن به یک (سا چند) اتماتای یادگیر مجهز می‌باشد که وضعیت این سلول را مشخص می‌کند. مانند اتماتاهای سلولی، قانونی محلي Φ بر اتماتای یادگیر سلولی حاکم است که تعیین می‌کند که ایا عمل انتخاب شده توسط یک اتماتا در یک سلول باستی پاداش داده شود و یا جریمه شود. عمل دادن جریمه و یا پاداش منجر به بروز دراوردن ساختار اتماتای یادگیر سلولی بمنظور نیل به یک هدف مشخص می‌گردد.

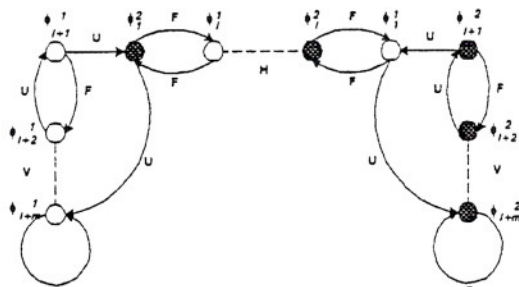
یک اتماتای یادگیر سلولی بصورت پنج تایی $\langle A, \Omega, \Phi, L, U \rangle$ نشان داده می‌شود. $\Omega = \{\omega_1, \omega_2, \dots, \omega_n\}$ مجموعه سلولهای موجود در اتماتای یادگیر سلولی می‌باشد که در یک شبکه کارتزین قرار گرفته‌اند. $A = \{\alpha_1, \alpha_2, \dots, \alpha_m\}$ مجموعه اعمال مجاز یک اتماتای یادگیر سلولی در یک سلول است. $\langle \alpha_i, A \rangle$ عمل انجام گرفته در سلول ω_i در زمان t را نشان می‌دهد و Φ قانون حاکم بر اتماتای یادگیر سلولی می‌باشد. $\{\Omega_1, \Omega_2, \dots, \Omega_m\} = \Omega$ مجموعه سلولهای یادگیر سلولی بوده و آنها مجذبه می‌باشد. $\langle \alpha_i, \Omega \rangle = L_i$ اتماتای یادگیر سلولی از آنها ایجاد شده است که هر سلول به آنها مجهز می‌باشد. $\langle \alpha_i, \Omega \rangle$ سلولهای یادگیر سلولی بوده که دارای دو خصوصیت زیر می‌باشد:

۴-۳-۴- اتماتای Krylov: در این اتماتا زمانیکه پاسخ محیط مطلوب است، تغییر وضعیت مانند $L_{2N,2}$ می‌باشد. اما زمانیکه پاسخ محیط نامطلوب می‌باشد، هر وضعیت (i, ϕ) با احتمال $1/N$ به وضعیت $(i+1, \phi)$ و با احتمال $1/N$ به وضعیت $(i-1, \phi)$ مطابق شکل ۷ منتقل می‌شود:



شکل ۷: نمودار تغییر وضعیت اتماتا Krylov

۴-۳-۵- اتماتای Ponomarev: نمودار تغییر وضعیت این اتماتان مطابق شکل ۸ می‌باشد. دایره‌های خالی وضعیت‌های عمل α_i و α_2 دایره‌های بُر، وضعیت‌های عمل α_1 را نشان می‌دهند. در این شکل F به معنای پاسخ مطلوب و U به معنای پاسخ نامطلوب می‌باشد. شکل Dارای دو قسمت عمودی V و یک قسمت افقی H است. قسمت عمودی سمت چپ دارای m وضعیت بوده و تماماً مربوط به عمل α_1 می‌باشد. قسمت عمودی سمت راست نیز دارای m وضعیت بوده و تماماً مربوط به عمل α_2 می‌باشد. در این دو قسمت رفتار اتماتا شبیه $L_{2N,2}$ است. ۲l وضعیت افقی در قسمت H مربوط یک در میان $L_{2N,2}$ می‌باشد. شماره وضعیت‌های α_1 از راست به چپ بوده و با $\alpha_1 \neq$ نشان داده می‌شوند و شماره وضعیت‌های α_2 از سمت چپ به راست بوده و با $\alpha_2 \neq$ نشان داده می‌شوند.



شکل ۸: نمودار تغییر وضعیت اتماتا Ponomarev

وقتی سیستم در یکی از وضعیت‌های H است، هم پاداش و هم جریمه باعث تغییر عمل می‌شود. می‌توان گفت که اتماتای Ponomarev خصوصیات اتماتاهای Krinsky و Tsetlin را با هم دارا می‌باشد. قسمت افقی را باید آموزش میگوئیم در حالیکه قسمتهای عمودی متناظر با وضعیتهای هستند که در آنها اتماتا تصمیم می‌گیرد تا عملی را که یاد گرفته است، انجام دهد.

۴-۳- اتماتای یادگیر با ساختار متغیر^{۱۳}: اتماتای یادگیر با ساختار متغیر توسط T -تایی $\langle \alpha, \beta, p, T \rangle$ تعریف می‌شود که $\alpha = \{\alpha_1, \alpha_2, \dots, \alpha_m\}$ مجموعه عمل‌های اتماتا، $\beta = \{\beta_1, \beta_2, \dots, \beta_m\}$ مجموعه رودیهای اتماتا، $p = \{p_1, p_2, \dots, p_m\}$ احتمالات $p(n+1) = T[\alpha(n), \beta(n), p(n)]$

داده شده به سلولها یکسان می باشد، اتماتای یادگیر سلولی از همسایگی Moore و با مرز پریودیک استفاده میکند و هر اتماتای یادگیرداری دو عمل α_1 و α_2 میباشد. مقدار عمل α_1 برابر یک و مقدار عمل α_2 برابر صفر در نظر گرفته شده است. قوانین بطور قطعی اعمال می شوند و قانون در هر سلول فقط بستگی به اعمال انتخاب شده توسط همسایه های آن سلول دارد.

آنتروبی میاري است برای انتازه گیری میزان اطلاعاتی که توسط یک منبع تولید می شود و یا توسط فرد شاهد دریافت می گردد. در مدل اتماتای یادگیرنده سلولی، آنتروبی بعنوان معیاری برای سنجش میزان کارآیی و بررسی سیستم مورد استفاده قرار میگیرد [6]. آنتروبی یک اتماتای یادگیر LA در CLA با مجموعه اعمال $\{\alpha_1, \alpha_2, \dots, \alpha_n\}$ برابر است با

$$E_{ij} = - \sum_{k=1}^n p(\alpha_k) \log(p(\alpha_k))$$

که $p(\alpha_i)$ احتمال آنتروبی های انتخاب عمل α_i توسط اتماتای یادگیر میباشد. آنتروبی CLA مجموع آنتروبی های اتماتا هایی که یادگیر در CLA مباید که بصورت زیر تعریف میشود.

$$E = \sum_i \sum_j E_{ij}$$

برای اطلاعات بیشتر درباره اتماتای یادگیرنده سلولی و کاربردهای آن میتوان به مرجع [24,5] مراجعه نمود.

۵- بررسی نتایج آزمایشات

در این قسمت رفتار اتماتای یادگیر سلولی برای اتماتا ها و قوانین مختلف مورد مطالعه قرار گرفته است. در ادامه به برخی از قوانینی که برای آزمایشات استفاده شده است اشاره میشود.

۵-۱- قوانین General: برای قوانین General نحوه نامگذاری سلولها بر اساس شکل ۱۰ می باشد:

A1	A2	A3
B1	B2	B3
C1	C2	C3

شکل ۱۰: نحوه نامگذاری سلولها

برای قوانین تعریف شده دیزیسر هر اتماتا در CLA دارای دو عمل میباشد. اگر اتماتا عمل α_1 را انتخاب نماید سلول آن اتماتا بصورت پر و در غیر اینصورت سلول آن اتماتا بصورت خالی نشان داده خواهد شد.

۵-۱-۱- قانون And All: در این قانون زمانی به عمل انتخاب شده توسط اتماتا پاداش داده می شود که خود اتماتا و تمام ۸ همسایه اش عمل α_1 را انتخاب کرده باشند و در غیر اینصورت عمل انتخاب شده توسط اتماتا جریمه می شود. این قانون بصورت زیربیان میشود.

$$\text{AND}(A1, A2, A3, B1, B2, B3, C1, C2, C3)$$

$$1) \lambda_i \in \Omega(\lambda_i) \quad \forall \lambda_i \in \Delta$$

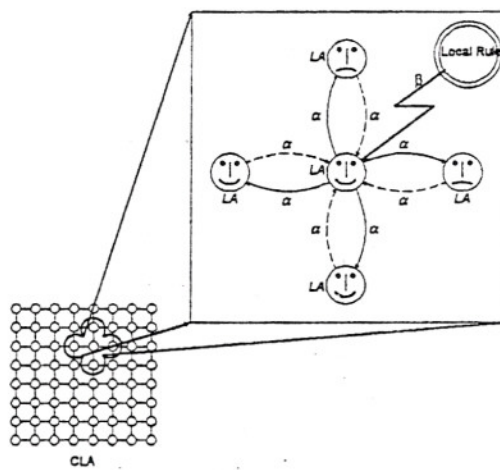
$$2) \lambda_i \in \Omega(\lambda_i) \quad \text{iff } \lambda_i \in \Omega(\lambda_i) \quad \forall \lambda_i, \lambda_j \in \Delta$$

فرض می کنیم که $\{\lambda_i\} \subset \Omega(\lambda_i) = \Omega(\lambda_i) = W(\lambda_i)$ باشد. در آنصورت، قانون حاکم بر سیستم میتواند بصورت تابعی بشکل زیر تعریف شود:

$$A^{i+1}(\lambda_i) = \Phi(A^i(x)|x \in W(\lambda_i))$$

عملکرد اتماتای یادگیر سلولی را می توان بصورت زیر شرح داد. در ابتدا هر اتماتای یادگیر در اتماتای یادگیر سلولی یکی از اعمال از مجموعه اعمال خود را انتخاب میکند. این عمل می تواند بر اساس مشاهدات قبلی و یا بصورت تصادفی انتخاب شود. عمل انتخاب شده با توجه به اعمال انتخاب شده توسط سلولهای همسایه و قانون حاکم بر اتماتای یادگیر سلولی پاداش داده میشود و یا جرمیه میگردد. با توجه به اینکه عمل انتخاب شده پاداش گرفته و یا جرمیه شده است ساختار داخلی اتماتا بروز میگردد. عمل بروز در اوردن تمام اتماتاها در اتماتای یادگیر سلولی بصورت همزمان انجام میشود. بعد از بروز در اوردن هر اتماتا در اتماتای یادگیر سلولی دوباره یک عمل از مجموعه اعمال خود را انتخاب و انجام میدهد. نتیجه عمل منجر به دادن پاداش و یا جرمیه تا زمانیکه سیستم به یک حالت پایدار برسد و یا یک معیار از قبل تعریف شده ای بر قرار شود ادامه می یابد. عمل بروز در اوردن ساختار اتماتا های موجود در اتماتای یادگیر سلولی توسط الگوریتم یادگیری انجام میگیرد.

شکل ۹ اتماتای یادگیر سلولی را نشان می دهد که در آن از همسایگی von Neumann استفاده شده است. در این شکل، اتما ناهای هایی که خوشحال هستند در مرحله قبل پاداش و اتماتا هایی که ناراحت هستند در مرحله قبل جرمیه دریافت کرده اند.



شکل ۹: اتماتای یادگیر سلولی (CLA)

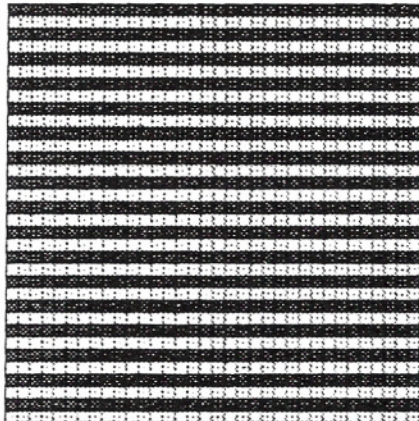
قانون حاکم بر اتماتای یادگیر سلولی همانند اتماتای سلولی می تواند بصورت totalistic و یا general باشد.

ویژگی های اساسی اتماتای یادگیر سلولی طرح شده در این مقاله عبارتند از: فضای زمان بصورت گسته می باشند، هر سلول دارای یک اتماتای یادگیر میباشد، بروز در آوردن اتماتا های یادگیر در سلولها بشکل همگام صورت می پذیرد، اتماتا های یادگیر تخصیص

قانون *Homogeneous* بصورت زیر تعریف می‌شود.

$\text{OR}(\text{AND}(\text{NOT}(A_1), B_1, \text{NOT}(C_1), A_2, \text{NOT}(B_2), C_2, \text{NOT}(A_3), B_3, \text{NOT}(C_3)), \text{AND}(\text{A}_1, \text{NOT}(B_1), C_1, \text{NOT}(A_2), B_2, \text{NOT}(C_2), A_3, \text{NOT}(B_3), C_3))$

۵-۱-۵- قانون *Horizontal Lines*: هدف از این قانون آن است که اتوماتا در طی زمان یاد بگیرند تا با شروع از یک الگوی بی نظم، الگوی مطابق شکل ۱۳ را ایجاد کنند.



شکل ۱۳: ساختار مطلوب نهایی قانون *Horizontal Lines*

شکل زیر الگوهای مطلوب برای تولید چنین الگویی را نشان میدهد.

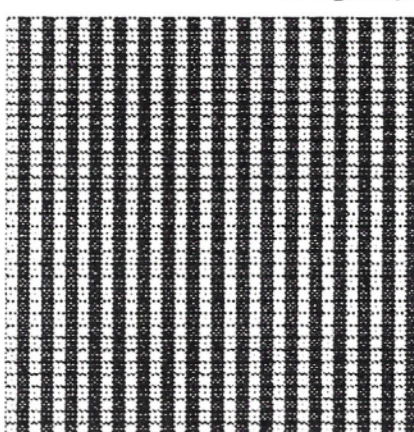


شکل ۱۴: الگوهای مطلوب در ساختار نهایی قانون *Horizontal Lines*

لذا قانون *Horizontal Lines* بصورت زیر تعریف می‌شود.

$\text{OR}(\text{AND}(A_1, B_1, C_1, \text{NOT}(A_2), \text{NOT}(B_2), \text{NOT}(C_2), A_3, B_3, C_3), (\text{NOT}(A_1), \text{NOT}(B_1), \text{NOT}(C_1), A_2, B_2, C_2, \text{NOT}(A_3), \text{NOT}(B_3), \text{NOT}(C_3)))$

۶-۱-۵- قانون *Vertical Lines*: هدف از طرح این قانون ایجاد الگویی بشکل یکسری خطوط موازی و عمودی با فاصله واحد از یکدیگر مطابق شکل ۱۵ می‌باشد.



شکل ۱۵: ساختار مطلوب نهایی قانون *Vertical Lines*

شکل زیر الگوهای مطلوب برای تولید چنین الگویی را نشان میدهد.

با توجه به اینکه ارزش عبارت منطقی فوق ورودی اتوماتا (باسخ محیط) می‌باشد. (برای ارزیابی عبارت منطقی فوق سلول بر True و سلول خالی False در نظر گرفته شده است). میتوان قانون فوق را بصورت دیگر نیز بیان کرد. بر اساس قانون فوق اگر یک اتوماتا در CLA عمل a_i را انتخاب کند ان عمل قطعاً جریمه خواهد شد و اگر یک اتوماتا در CLA عمل b_i را انتخاب کند و همچنین تمام اتوماتاهای همسایه این اتوماتا عمل b_i را انتخاب کرده باشد عمل انتخاب شده توسط این اتوماتا یعنی عمل b_i پاداش خواهد گرفت و در غیر این صورت جریمه خواهد شد.

لازم بذکر است که برای قوانین *general* مقدار True برای یک قانون بعنوان پاسخ مناسب محیط تعبیر می‌شود.

۶-۲-۵- قانون *Or All*: در این قانون زمانی به عمل انتخاب شده توسط اتوماتا پاداش داده می‌شود که حداقل اتوماتای مزکوزی یا یکی از ۸ اتوماتای همسایه اش عمل a_i را انتخاب کرده باشند. در غیر اینصورت ان عمل جریمه می‌شود. این قانون بصورت زیر بیان می‌شود.

$\text{OR}(A_1, A_2, A_3, B_1, B_2, B_3, C_1, C_2, C_3)$

به بیان دیگر بر اساس قانون فوق اگر یک اتوماتا در CLA عمل a_i را انتخاب کند ان عمل قطعاً پاداش خواهد گرفت. اگر یک اتوماتا در CLA عمل b_i را انتخاب کند و حداقل یکی از اتوماتاهای همسایه این اتوماتا عمل a_i را انتخاب کرده باشد عمل انتخاب شده توسط این اتوماتا پاداش خواهد گرفت و در غیر اینصورت جریمه می‌شود.

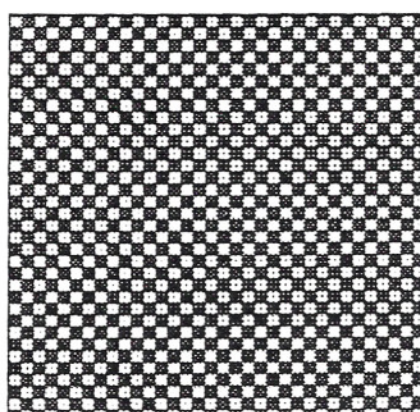
۶-۳-۵- قانون *Cross*: این قانون بصورت زیر بیان می‌گردد.

$\text{OR}(A_1, A_3, B_2, C_1, C_3)$

۶-۴-۵- قانون *Homogeneous*: هدف از طرح این قانون آن است که بینیم آیا اتوماتاهای توانایی آن را دارند که با شروع از یک الگوی بی نظم، الگویی را مطابق شکل ۱۱ ایجاد کنند. بدین منظور الگوهایی که باید به آنها پاداش داده شوند مطابق شکل ۱۲ هستند.



شکل ۱۱: الگوهای مطلوب در ساختار نهایی قانون *Homogeneous*



شکل ۱۲: ساختار مطلوب نهایی قانون *Homogeneous*

برای این قانون الگوهای مطلوب عبارتند از:



شکل ۲۰: الگوهای مطلوب در ساختار نهایی قانون Separate

لذا قانون Separate بصورت زیر تعریف می‌شود.

$$\text{OR}(\text{AND}(\text{NOT}(A_1), \text{NOT}(B_1), \text{NOT}(C_1), \text{NOT}(A_2), B_2, \text{NOT}(C_2), \text{NOT}(A_3), \text{NOT}(B_3), \text{NOT}(C_3)), \text{AND}(A_1, \text{NOT}(B_1), C_1, \text{NOT}(A_2), \text{NOT}(B_2), \text{NOT}(C_2), A_3, \text{NOT}(B_3), C_3), (\text{NOT}(A_1), B_1, \text{NOT}(C_1), \text{NOT}(A_2), \text{NOT}(B_2), \text{NOT}(C_2), \text{NOT}(A_3), B_3, \text{NOT}(C_3)), (\text{NOT}(A_1), \text{NOT}(B_1), \text{NOT}(C_1), A_2, \text{NOT}(B_2), C_2, \text{NOT}(A_3), \text{NOT}(B_3), \text{NOT}(C_3)))$$

۲-۵- قوانین Totalistic: این دسته از قوانین همانند نوع مشابه خود در اتوماتی سلوی می‌باشند با این تفاوت که از نتیجه قانون برای دادن پاداش یا جریمه استفاده می‌گردد این قانون بصورت N-M نشان داده می‌شود که $M = \{M_1, M_2, \dots\}$ و $N = \{N_1, N_2, \dots\}$ می‌باشد و بصورت زیر تفسیر می‌گردد.

اگر اتوماتی سلوی مرکزی عمل α_i را انتخاب نماید و تعداد اتوماتاهای M همسایه که عمل α_i را انتخاب کرده باشند متعلق به مجموعه M باشد اتوماتی مرکزی جریمه و در غیر اینصورت پاداش داده خواهد شد. اگر اتوماتی سلوی مرکزی عمل α_i را انتخاب نماید و تعداد اتوماتاهای همسایه که عمل α_i را انتخاب کرده باشند متعلق به مجموعه N باشد اتوماتی مرکزی جریمه و در غیر اینصورت پاداش داده خواهد شد.

بعنوان نمونه چند قانون Totalistic در زیر شرح داده می‌شود. قانون ۸-۹: این قانون بصورت زیر می‌تواند بیان شود. اگر اتوماتی مرکزی عمل α_i را انتخاب نماید و تعداد اتوماتاهای همسایه که عمل α_i را انتخاب کرده باشند بزرگتر با مساوی ۱ باشد (متعلق به مجموعه M باشد). اتوماتی مرکزی جریمه و در غیر اینصورت پاداش داده خواهد شد. اگر اتوماتی سلوی مرکزی عمل α_i را انتخاب نماید و تعداد اتوماتاهای همسایه که عمل α_i را انتخاب کرده باشند کوچکتر با مساوی ۷ باشد (متعلق به مجموعه N باشد) اتوماتی مرکزی جریمه و در غیر اینصورت پاداش داده خواهد شد.

قانون ۹- این قانون بصورت زیر می‌تواند بیان شود. اگر اتوماتی مرکزی عمل α_i را انتخاب نماید و اتوماتاهای همسایه عمل α_i را انتخاب نمایند به اتوماتی مرکزی جریمه و در غیر اینصورت پادash داده خواهد شد. اگر اتوماتی مرکزی عمل α_i را انتخاب نماید پادash دریافت می‌کند (این بدين دليل است که مجموعه N تهی است).

آزمایشات انجام گرفته شده در این مقاله با شرایط زیر انجام شده است.
الف- اتوماتی یادگیر با ساختار ثابت: پارامترهای بکار رفته در آزمایشها انجام گرفته با اتوماتی یادگیر با ساختار ثابت بشرح زیر می‌باشند:

۱. اتوماتی سلوی بکار گرفته شده دارای 35×35 سلوی مبایند مگر در مواردی که باید تعداد سطرها و ستونهای اتوماتی سلوی زوج باشد مانند قانون Minority با اتوماتی Krylov که باستنی

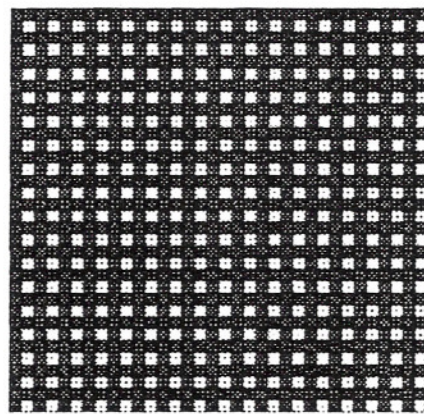


شکل ۱۶: الگوهای مطلوب در ساختار نهایی قانون Vertical Lines

قانون Vertical Lines بصورت زیر تعریف می‌شود.

$$\text{OR}(\text{AND}(A_1, A_2, A_3, \text{NOT}(B_1), \text{NOT}(B_2), \text{NOT}(B_3), C_1, C_2, C_3), (\text{NOT}(A_1), \text{NOT}(A_2), \text{NOT}(A_3), B_1, B_2, B_3, \text{NOT}(C_1), \text{NOT}(C_2), \text{NOT}(C_3)))$$

۷-۱-۵- قانون Grid: هدف ایجاد الگویی بشکل یک grid می‌باشد.



شکل ۱۷: ساختار مطلوب نهایی قانون Grid

با توجه به شکل ۱۷ الگوهای مطلوب عبارتند از:

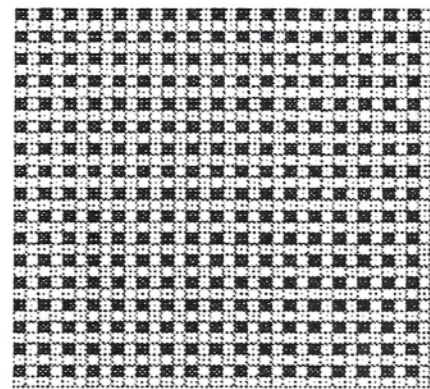


شکل ۱۸: الگوهای مطلوب در ساختار نهایی قانون Grid

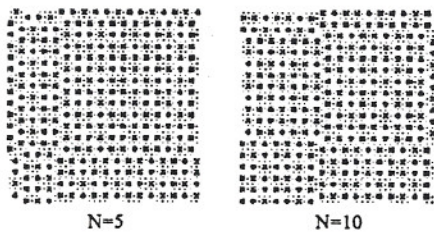
لذا قانون Grid بصورت زیر تعریف می‌شود.

$$\text{OR}(\text{AND}(\text{NOT}(A_1), B_1, \text{NOT}(C_1), A_2, B_2, C_2, \text{NOT}(A_3), B_3, \text{NOT}(C_3)), \text{AND}(A_1, \text{NOT}(B_1), C_1, A_2, B_2, C_2, A_3, \text{NOT}(B_3), C_3), \text{AND}(A_1, B_1, C_1, A_2, \text{NOT}(B_2), C_2, A_3, B_3, C_3), \text{AND}(A_1, B_1, C_1, \text{NOT}(A_2), B_2, \text{NOT}(C_2), A_3, B_3, C_3))$$

۸-۱-۵- قانون Separate: هدف از این قانون ایجاد الگویی است که در آن هیچ دو اتوماتی که عمل α_i را انتخاب کرده باشند در کنار یکدیگر قرار نگیرند.

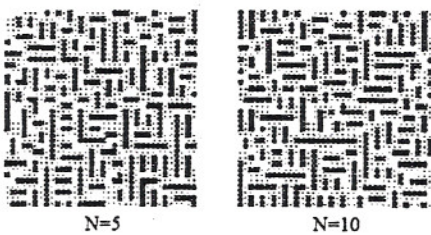


شکل ۱۹: ساختار مطلوب نهایی قانون Separate

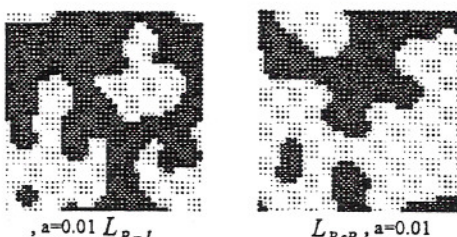


شکل ۲۲: نتایج حاصل از قانون ۰۱-۲۳۴۵۶۷۸۹ و اتماتان Krylov

۳-۴-۵-قانون *Cross*: در صورت استفاده از اتماتاتی Krylov و با شروع از حالت اولیه با چگالی اولیه $a = 50$ هم‌الگوهای شبیه به ایجاد می‌شود. در حالت $N=1$ نیز تا حدودی این الگو ایجاد می‌شود. این قانون در اتماتاتی سلوی الگوی مطلوب در قانون *Homogeneous* را ایجاد می‌نماید. شکل ۲۲ برخی از نتایج بدست آمده از این آزمایشها را نشان می‌دهد.

شکل ۲۳: نتایج حاصل از قانون *Cross* و اتماتان Krylov

۴-۴-۵-قانون *Majority* (56789-01234): در صورت استفاده از اتماتاتی مختلف و با شروع از حالت اولیه تصادفی با چگالی $a = 50$ هم‌الگوهای بشکل جزیره ایجاد می‌شود بطوریکه لبه های نیز در آنها وجود ندارد. در اتماتاتیهای با ساختار متغیر با افزایش پارامتر a جزایر کوچکتر شده و تعدادشان افزایش می‌یابد. این قانون در CA نیز چنین الگویی را ایجاد می‌نماید. شکل ۲۴ برخی از نتایج حاصل از آزمایشات با این قانون را نشان می‌دهد. از نتایج این آزمایش در مدلسازی شایعه توسط CLA استفاده شده است [5].

شکل ۲۴: نتایج حاصل از قانون *Majority*

۵-۴-۵-قانون *Minority* (56789-01234): در صورت استفاده از اتماتاتی Krylov و با شروع از حالت اولیه تصادفی با چگالی اولیه $a = 50$ هم‌الگوهای بصورت یکسری دسته خطوط موازی (عمودی یا افقی) ایجاد می‌شود. الگوهای حاصل گاهی شبیه به الگوی مطلوب در قانون *Horizontal Lines* و گاهی شبیه به الگوی مطلوب در قانون *Vertical Lines* می‌باشند. در برخی مواقع نیز شکستگیهای بصورت جایجاگی قسمتی از دسته خطوط مشاهده می‌شود. جنابه از

اتماتاتی سلوی با مرز پریودیک باشد که اتماتاتی یادگیر سلوی با 34×34 سلوول در نظر گرفته شده است.

۲. در برخی از آزمایشات ساختار اولیه تنها شامل یک سلوول پر در مرکز اتماتاتی یادگیر سلوی می‌باشد (سلول مرکزی عمل a_2 را انتخاب کرده باشد).

۳. در برخی از آزمایشات با اتماتاتی Krylov ساختار اولیه با چگالی $a = 0$ (همه سلووها سفید هستند) و در برخی ساختار اولیه با چگالی $a = 50$ در نظر گرفته شده است.

۴. در صورت استفاده از اتماتاتی Krylov آزمایش تا رسیدن به ساختار باید نهایی ادامه پیدا می‌کند. برای سایر اتماتاتها آزمایش تا رسیدن به نسل 2000 ادامه پیدا می‌کند.

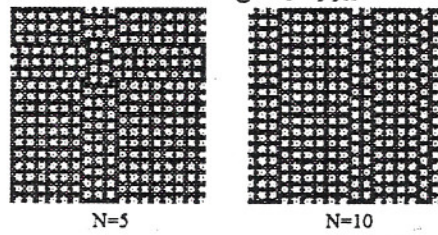
ب- اتماتاتی یادگیر با ساختار متغیر: پارامترهای بکار رفته در آزمایشها با اتماتاتی یادگیر با ساختار متغیر بدین شرح می‌باشند:

۱. اتماتاتی سلوی بکار گرفته شده دارای 35×35 سلوول مبایشد مگر در مواردی که باید تعداد سطراها و ستونهای اتماتاتی سلوی زوج باشد مانند قانون *Separate* که بایستی اتماتاتی سلوی با مرز پریودیک باشد که اتماتاتی یادگیر سلوی با 34×34 سلوول در نظر گرفته شده است.

۲. اختلال اولیه انتخاب عمل های هر اتماتا مساوی $1/5$ در نظر گرفته شده است.

۳. آزمایش زمانی متوقف می‌شود که یا میانگین آنستروبی به حدود صفر رسیده باشد و یا برای مدتی ثابت باقی مانده باشد.

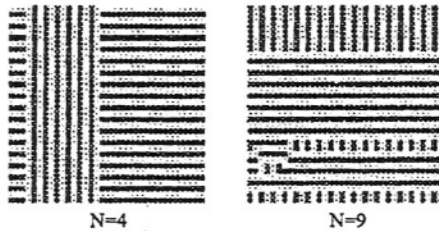
۱-۲-۵-قانون ۸۹-۸۷-۷۶-۷۵-۷۴-۷۳-۷۲-۷۱: شکل زیر الگوی تولید شده توسط این قانون را نشان میدهد. در صورت استفاده از اتماتاتی Krylov و با شروع از حالت اولیه تصادفی با چگالی اولیه $a = 50$ هم‌الگوهای ایجاد می‌شود که در آنها اتماتاتهایی که عمل a_2 را انجام می‌دهند، در کار هم قرار ندارند. الگوهای حاصل شباهت بسیار زیادی به الگوی مطلوب در قانون *Grid* دارند. در حالت $N=1$ به الگوی مطلوب نهایی نمی‌رسیم و اتماتاتاها دانما تغییر وضعیت می‌دهند.



شکل ۲۵: نتایج حاصل از قانون ۰۱۲۳۴۵۶۷-۸۹ و اتماتان Krylov

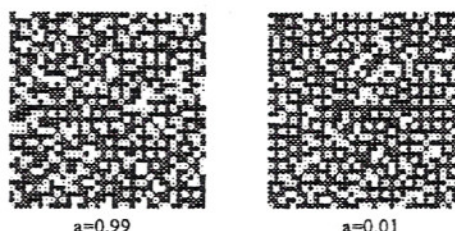
۲-۲-۵-قانون ۸۹-۸۸-۸۷-۸۶-۸۵-۸۴-۸۳-۸۲-۸۱: در صورت استفاده از اتماتاتی Krylov و با شروع از حالت اولیه تصادفی با چگالی اولیه $a = 50$ هم‌الگوهای ایجاد می‌شود که در آنها اتماتاتهایی که عمل a_2 را انجام می‌دهند، در کار هم قرار ندارند. الگوهای حاصل شباهت بسیار زیادی به الگوی مطلوب در قانون *Separate* دارند. برای اتماتاتی یادگیر سلوی همگرا نمی‌شود و اتماتاتاها دانما تغییر وضعیت می‌دهند. شکل ۲۶ برخی از نتایج بدست آمده از این آزمایشها را نشان می‌دهد.

۷-۴-۵-قانون *High Minority* (0123-456789): در صورت استفاده از اوتوماتان Krylov و با شروع از حالت اولیه تصادفی با چگالی اولیه $= 50$ هر الگوهای بصورت یکسری دسته خطوط موازی (عمودی یا افقی) و یا دو یا چند دسته خطوط موازی و عمود بر هم ایجاد می کنند بطوریکه در نقاط تلاقی، خطوط با هم در تماس نیستند برای حالت $N=1$ الگوی خاصی ایجاد نمی شود. تنها در حالت $N=9$ در ساختار نهایی الگویی پیش آمد که در آن اوتوماتون های واقع در ناحیه مرزی بطور متساوی تغییر حالت می دانند. در صورت استفاده از اوتوماتان L_{R-CP} با پارامتر $a=0.90$ و با ابعاد زوج، نیز به این ساختارها شباهت کامل به *maze* دارند می رسمیم که با افزایش پارامتر a طول کانالها در *maze* کوتاهتر می شود. شکل ۲۷ برخی نتایج حاصل از آزمایشها با قانون *High Minority* و اوتوماتان Krylov را نشان میدهد.

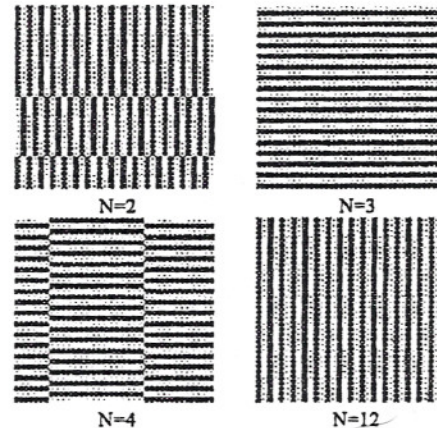
شکل ۲۷: نتایج حاصل از قانون *High Minority* و اوتوماتی *Krylov*

۸-۴-۵-قوانين *Horizontal , Grid , Separate , Homogeneous* و *Vertical Lines*:

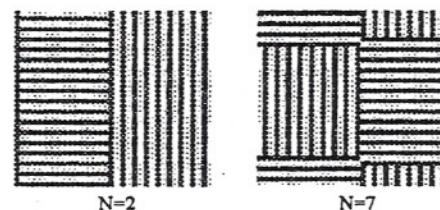
Vertical Lines: اشکال زیر الگوی تولید شده توسط قانونهای فوق را نشان میدهد. در صورت استفاده از اوتوماتی L_{RI} به ساختارهای موردنظر نزدیک می شویم. با افزایش پارامتر a (کم شدن عمق حافظه) شباهت ساختارهای ایجاد شده با ساختار مورد نظر کمتر می شود یعنی خطوطی با طول کوتاهتر ایجاد می گردد. این امر را می توان اینگونه توجیه نمود که زمانیکه پارامتر a افزایش می باید، سرعت همگرایی اوتوماتون ها بیشتر شده و در نتیجه فرست کمتری برای یافتن الگوی مطلوب وجود خواهد داشت. چنانچه از اوتوماتی L_{R-CP} با پارامتر $a=0.90$ و محیط با ابعاد زوج استفاده کنیم، دقیقاً به ساختارهای موردنظر می رسمیم.

شکل ۲۸: نتایج حاصل از قانون *Grid* و اوتوماتان L_{R-I}

اتوماتای L_{R-CP} با پارامتر $a=0.90$ و محیط با ابعاد زوج استفاده کنیم نیز به این ساختارها می رسیم. در صورتیکه از اوتوماتی L_{R-I} استفاده نماییم، به ساختارهای شبیه به *maze* که با افزایش پارامتر a شباهت الگوهای ایجاد شده به الگوی مورد نظر تا حدودی کمتر می شود. بدین صورت که طول کانالها کوتاهتر می گردد. این امر را می توان اینگونه توجیه نمود که زمانیکه پارامتر a افزایش می باید، سرعت همگرایی اوتوماتها بیشتر شده و لذا احتمال عمل ها سریعتر به مقدار ۱ نزدیک میشوند. در نتیجه فرست کمتری برای یافتن الگوی مطلوب وجود خواهد داشت. در شکل ۲۵ برخی از نتایج حاصل از آزمایشات با قانون *Minority* و اوتوماتی *Krylov* ارائه شده است. از نتایج این آزمایش برای کاربرد CLA در پردازش تصاویر استفاده شده است [۵].

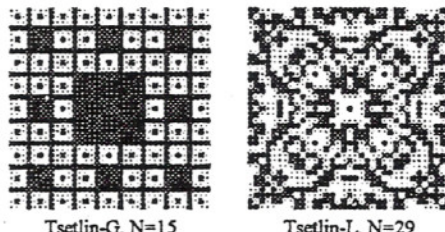
شکل ۲۵: نتایج حاصل از قانون *Minority* و اوتوماتی *Krylov*

۸-۶-۶-قانون *Low Minority* (012345-6789): در صورت استفاده از اوتوماتی *Krylov* و با شروع از حالت اولیه تصادفی با چگالی $= 50$ هر الگوهای بصورت یکسری دسته خطوط موازی (عمودی یا افقی) و یا دو یا چند دسته خطوط موازی و عمود بر هم ایجاد می کنند بطوریکه در نقاط تلاقی، خطوط با هم در تماس هستند. برای حالت $N=1$ الگوی خاصی ایجاد نمی شود. در صورت استفاده از اوتوماتی L_{R-CP} با پارامتر $a=0.90$ و با ابعاد زوج، نیز به این ساختارها می رسمیم. در صورت استفاده از اوتوماتی L_{R-I} تولید می شود ولی کانالهای ایجاد شده اکثرا مسدود و با طول کوتاهتر هستند. با افزایش پارامتر a طول کانالها کوتاهتر می شود. در شکل ۲۶ برخی از نتایج حاصل از آزمایشات با قانون *Low Minority* و اوتوماتی *Krylov* آورده شده است.

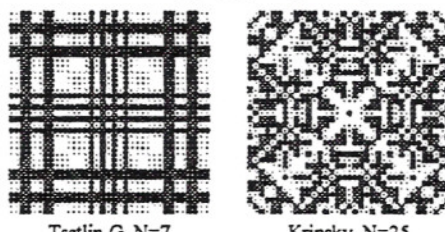
شکل ۲۶: نتایج حاصل از قانون *Low Minority* و اوتوماتی *Krylov*

دهد. با افزایش پارامتر α تعداد نسل های سبیر شده تا رسیدن به ساختار نهایی بصورت نمایی کاهش می یابد که دلیل این امر بعلت سریعتر شدن همگرایی اتوماتاهای L_{R-I} و L_{R-P} بر اثر افزایش پارامتر α می باشد.

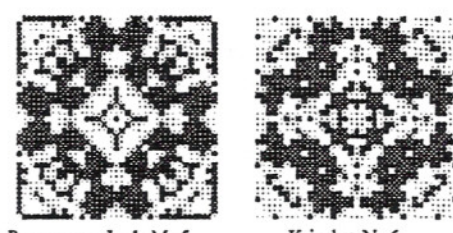
برای بحث مفصلتر درباره CLA و آزمایشات بیشتر به [5] و [24,25] مراجعه کنید.



۰۲۴۶۸-۰۲۴۶۸ نتایج حاصل از قانون



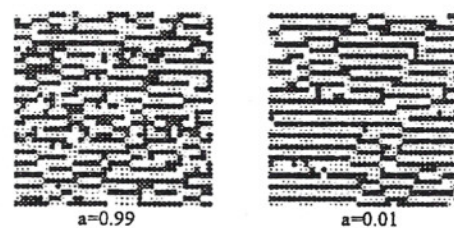
02468-13579



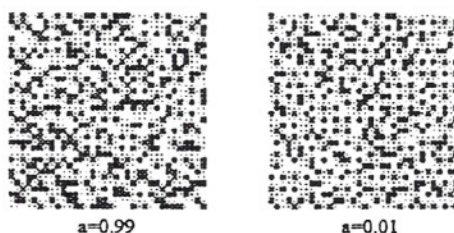
035789 012169 : 15 1 1-1 -1- 1-1



seum-G, N-1)

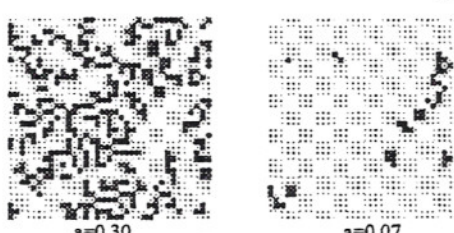


شکل ۲۹: نتایج حاصل از قانون *Horizontal-Lines* و اتماتان L_{R-I}



شکل ۳۰: نتایج حاصل از قانون Separate و اتماتای L_{R-l}

۹-۴-۳: شکل زیر الگوی تولید قانون Game of Life (01256789) است که در صورت استفاده از این تولید می‌توان را شان میدهد. در صورت استفاده از آن، اتماتان L_R با افزایش پارامتر a جمعیت نهایی زیاد می‌شود. تعداد نسل های سپری شده در $a=0.02$ تقریباً نصف شده و از آن پس به آرامی و با نوسان کاهش می‌یابد. در صورت استفاده از آن، اتماتان L_R با افزایش پارامتر a به الگوهایی می‌رسیم که در ابتدا رشد می‌کنند و سپس دائما در حال تغییر هستند. در قسمت ۱-۳-۵ عنوان شد که چنانچه از اتماتانی های با ساختار ثابت (بفیر از اتماتوی Krylov) و با عمق حافظه $N=1$ استفاده کنیم، اتماتانی یادگیر سلوی رفتارهای اتماتانی سلوی را از خود نشان می‌دهند. بنابراین، میتوان گفت که اتماتانی یادگیر سلوی دارای ویژگی جهان محاسباتی هستند.^[8]

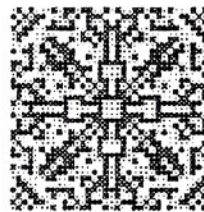


شکل ۱۳: نتایج حاصل از قانون Game of Life و اتماتای L_{RI}

- قانون And All: در صورت استفاده از اتماتون های L_{RI} در تمام موارد، محیط به حالتی یکنواخت می رسد بطوریکه L_{RCF} و L_{RCR} در تمام اتماتاهای یا عامل α را انجام می دهند. با افزایش پارامتر a ، تمام اتماتاهای نمودار جمعیت خطی موازی محور عمق حافظه می شود. تعداد نسل های سپری شده تا رسیدن به ساختار نهایی نیز بصورت نمایی کاهش می یابد که دلیل این امر بعلت سرعت بیشتر همگرایی اتماتاهای L_{RI} بدلیاً L_{RCF} و L_{RCR} می باشد.

۱۱-۴-۵- قانون All Or: در صورت استفاده از اتماتاهای L_{RI} و L_{REP} ، در تمام موارد، محیط به حالتی یکنواخت می‌رسد بطوریکه در هر همسایگی، حداقل یک اتمانا وجود دارد که عمل α را انجام

- Computer Eng. Dept., Amirkabir University of Technology, Tehran, Iran, 2000.
- [6] Wolfram, S., "Statistical Mechanics of Cellular Automata", Review of Modern Physics, Vol. 55, pp. 601-644, 1983.
- [7] Wolfram, S., "Twenty Problems in the Theory of Cellular Automata", Physica Scripta, Vol. 9, pp. 170-183, 1985.
- [8] Mitchell, M., "Computation in Cellular Automata: A Selected Review", Technical Report, Santa Fe Institute, Santa Fe, U.S.A., 1996.
- [9] Adami, C., *Introduction to Artificial Life*, Springer Verlag, New York, Inc., 1998.
- [10] Wolfram, S., "Random Sequence Generation by Cellular Automata", Advances in Applied Mathematics, Vol. 7, pp. 123-169, 1986.
- [11] Sasidhar, K., Chattopadhyay, S. and Chaudhuri, P., "CAA Decoder for Cellular Automata Based Byte Error Correcting Code", IEEE Transactions on Computers, Vol. 45, No. 9, 1996.
- [12] Srivichinwong, B., York, T.A. and Tsalides, Ph., "A Symmetric Cipher Using Autonomous And Non-Autonomous Cellular Automata", Global Telecommunications Conference, Vol. 2, pp. 1172-1177, 1995.
- [13] Nandi, S., Kar, B.K. and Chaudhuri, P., "Theory and Applications of Cellular Automata in Cryptography", IEEE Transactions on Computers, Vol. 43, No. 12, 1994.
- [14] Boccara, N. and Fuks, H., "Modeling Diffusion of Innovations with Probabilistic Cellular Automata", <http://www.uic.edu/~boccara/publications.html>, 1999.
- [15] Sahota, P., Daemi, M.F. and Ellimin, D.G., "Training Genetically Evolving Cellular Automata for Image Processing", International Symposium on Speech, Image Processing and Neural Networks, 1994.
- [16] Preston, K.J.R., Duff, M.J.B., Levialdi, S., Norgren, P.E. and Toriwaki, J.-I., "Basics of Cellular Logic with Some Applications in Medical Image Processing", Proceedings of the IEEE, Vol. 67, No. 5, 1979.
- [17] Gordillo, J. L. and Luna, J. V., "Parallel Sort on a Linear Array of Cellular Automata", IEEE Int. Conf. on Humans, Information and Technology, 1994.
- [18] Narendra, K.S. and Thathachar, M.A.L., *Learning Automata: An Introduction*, Prentice Hall, Inc., 1989.
- [19] Mars, P., Chen, J.R. and Namir, R., *Learning Algorithms: Theory and Applications in Signal Processing, Control and Communications*, CRC Press, Inc., 1996.
- [20] Lakshminarahan, S., *Learning Algorithms: Theory and Applications*, New York, Springer Verlag, 1981.
- [21] Meybodi, M.R. and Lakshminarahan, S., " \mathcal{E} - Optimality of a General Class of Absorbing Barrier Learning Algorithms", Information Sciences, Vol. 28, pp. 1-20, 1982.
- [22] Meybodi, M.R. and Lakshminarahan, S., "On a Class of Learning Algorithms which have a Symmetric Behavior under Success and Failure", Springer Verlag Lecture Notes in Statistics, pp. 145-155, 1984.
- [23] Meybodi, M.R., "Results on Strongly Absolutely Expedient Learning Automata", Proc. of OU Inference Conf. 86, ed. D.R. Moots and R. Butrick, Athens, Ohio: Ohio University Press, pp. 197-204, 1987.
- [24] Meybodi, M. R., Beigy, H., and Taherkhani, M., "Cellular Learning Automata And Its Applications", Technical Report, Amirkabir University of Technology, Computer Engineering Department, March 2000.
- [25] Meybodi, M. R., "Experiments with Cellular Learning Automata", Technical Report, Amirkabir University of Technology, Computer Engineering Department, August 2000.



Tsetlin-G, N=2



Ponomarev, L=2, M=4

شکل ۳۶ نتایج حاصل از قانون ۱۳۵۷۹-۱۳۵۷۹

۶- نتیجه گیری

با توجه به نتایج بدست آمده در مورد قوانین general می توان گفت که اتماتای L_{R-M} با پارامتر $a=0.90$ توانایی رسیدن به ساختار مورد نظر را دارد و این امر مستقل از ساختار اولیه آنها می باشد. اتماتای L_{R-I} و همچنین اتماتای با ساختار ثابت چنین توانایی را ندارند. اتماتای L_{R-I} بعلت خاصیت بازگشت نابذیر آن، تنها در دو مورد یعنی قوانین Or All و And All چنین توانایی را دارد و در سایر موارد به ساختارهایی نسبتاً شبیه به ساختار مورد نظر می رسد. در اتماتای L_{R-I} هر چه مقدار پارامتر a کوچکتر باشد، ساختارهای بدست آمده به ساختار مطلوب شباهت بیشتری بینا میکند ولی تعداد نسلهای سپری شده برای رسیدن به ساختار نهایی بیشتر می شود. در مرز دو ناحیه که با هم تطبیق ندارند، همیشه تغییر در وضعیت اتماتاها مشاهده می شود بدون آنکه هیچ یک از گروهها عقب نشینی کنند.

در مورد قوانین totalistic، چنانچه از اتماتای با ساختار ثابت (بنابر از اتماتای Krylov) استفاده کنیم، به ساختارهای متقارن و زیبا می رسیم. در برخی دیگر از قوانین نظر اثواب قوانین Minority چنانچه از اتماتای Krylov استفاده نماییم، به بعضی از ساختارهای مطلوب در قوانین general می رسیم.

با توجه به اینکه اتماتاها با ساختار ثابت (بنابر از اتماتای Krylov) و با عمق حافظه مساوی 1 استفاده کنیم، اتماتای یادگیر سلولی رفتار اتماتای سلولی را از خود نشان می دهد و اینکه در اتومنون delay افزایش عمق حافظه اثر را دارد می توان نتیجه گرفت که اتماتای سلولی حالت خاصی از اتماتای یادگیرنده سلولی می باشد و همچنین اتماتای یادگیر سلولی دارای ویژگی جهان محاسباتی میباشد.

مراجع

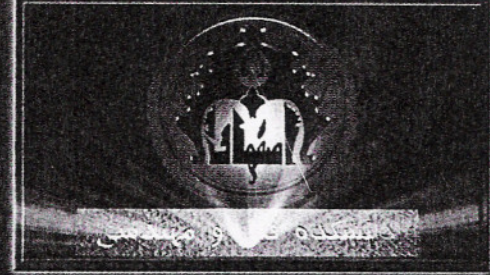
- [1] von Neumann, J., "Theory of Self-Reproducing Automata", University of Illinois Press, 1966.
- [2] von Neumann, J., "The General Logical Theory of Automata", Cerebral Mechanisms in Behavior-The Hixon Symposium, 1951.
- [3] Liu, Y., "Two Pattern Learning Algorithms Using Dynamical Systems", Proceedings of IEEE/RSJ International Conference on Intelligent Robots and Systems, 1992.
- [4] Liu, Y., "Fractals, Neural Networks, Cellular Automata, Formal Language and Coding Theory", Systems, Man and Cybernetics, IEEE International Conference on, Vol. 2, pp. 1663-1669, 1992.
- [5] Taherkhani, M., "Proposing and Studying of Cellular Learning Automata as a Tool for Modeling Systems", M.Sc. Thesis,



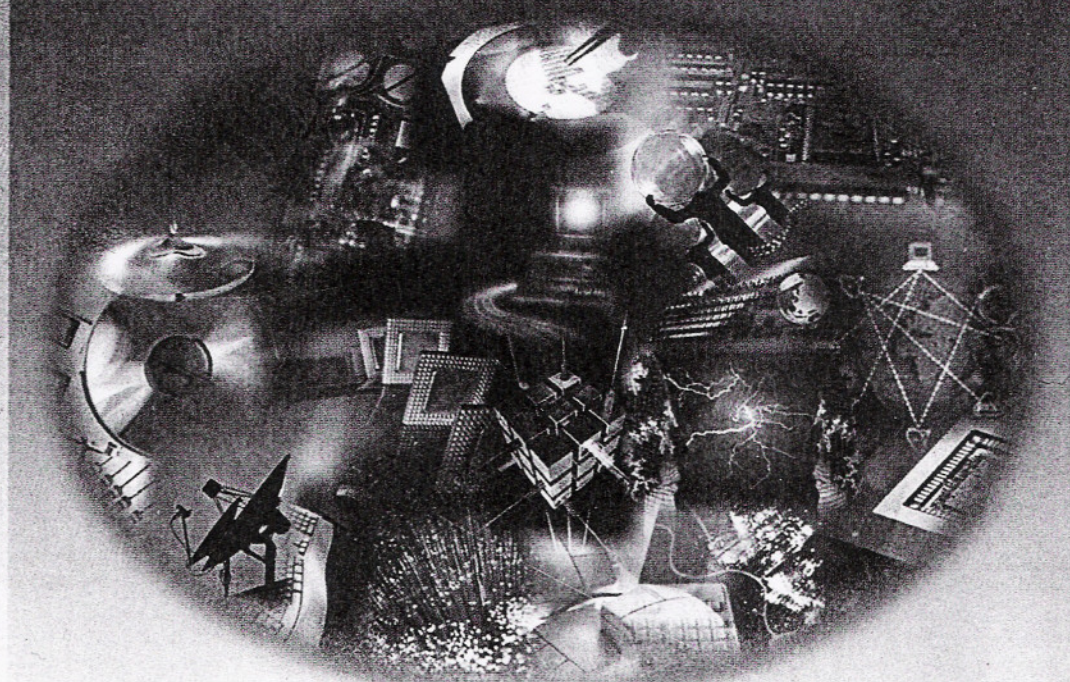
اینستیتوی
الکتریک و
الاتریونیک
ایران
Institute of
Electrical and
Electronics
Engineering of Iran



IEEE - IRAN



مجموعه مقالات
ششمین کنفرانس بین المللی سالانه
انجمن کامپیوتر ایران
گروه مهندسی کامپیوتردانشگاه اصفهان



۳ الی ۶ اسفندماه ۱۳۷۹

